

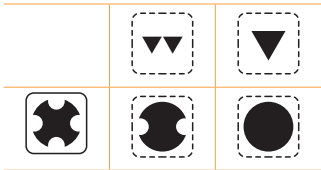
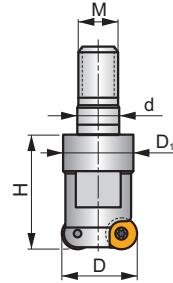
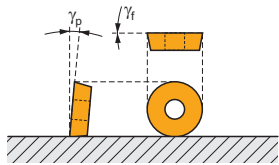
SRD05

P **M** **K** **H**

S



a_{pmax} 1,5 mm



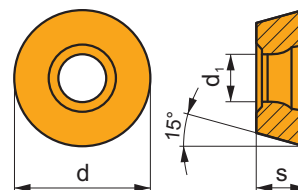
ISO	D	D ₁	d	H	M	γ_f°	γ_p°								
10E2R020M06-SRD05	10	9,8	6,5	20	M6	0	+3	2	-	-	-	✓	0,02	GI117	CO050
12E3R020M06-SRD05	12	10,0	6,5	20	M6	0	+3	3	-	-	-	✓	0,02	GI117	CO050
15E4R020M08-SRD05	15	13,5	8,5	20	M8	0	+3	4	✓	-	-	✓	0,03	GI117	CO050

GI117 RD.. 0501MO..

CO050	US 20	Nm 0,9	M 2	3	Flag T06
-------	-------	--------	-----	---	----------

RDHX 05

	d	d ₁	s
0501	5,000	2,20	1,51



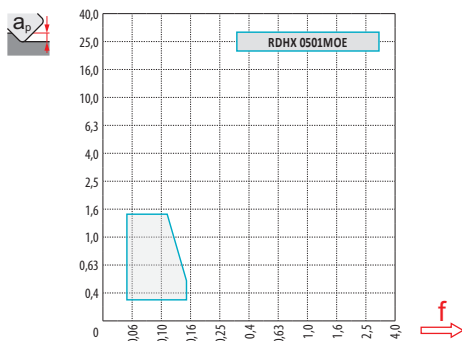
i		ISO		P	M	K	N	S	H	?		r _ε	f _{min}	f _{max}	a _{p min}	a _{p max}
		RDHX 0501MOE	M8310	■	□	■				■	✘	-	0,05	0,15	0,3	1,5
HFC																
E																

ISO		f _{min}	f _{max}	M8310
P	●	0,05	0,15	402
	☉	0,05	0,12	363
	✘	0,05	0,10	325
M	●	0,05	0,15	204
	☉	0,05	0,12	182
	✘	0,05	0,10	165
K	●	0,05	0,15	380
	☉	0,05	0,12	347
	✘	0,05	0,10	308
H	●	0,05	0,15	77
	☉	0,05	0,12	72
	✘	0,05	0,10	61



$\frac{a_p}{D}$	0,05	0,10	0,15	0,20	0,25	0,30	0,40	0,50	0,60	0,70	0,75	0,80	0,90	1,00
	1,48	1,35	1,27	1,22	1,19	1,16	1,11	1,08	1,05	1,03	1,00	1,00	1,00	1,00
	2,87	2,05	1,69	1,48	1,33	1,23	1,09	0,75	0,94	0,90	0,89	0,88	0,88	1,00
	0,64	0,64	0,64	0,64	0,64	0,65	0,65	0,67	0,68	0,71	0,72	0,74	0,79	1,00

RDHX 05	
	2,5
	-



$\frac{D}{mm}$	a_p	0,00	0,30	0,50	0,75	1,00	1,25	1,50	2,00	2,50
10	$\frac{D_{ef}}$	5,0	7,4	8,0	8,6	9,0	9,3	9,6	9,9	10,0
12		7,0	9,4	10,0	10,6	11,0	11,3	11,6	11,9	12,0
15		10,0	12,4	13,0	13,6	14,0	14,3	14,6	14,9	15,0

a_p	-	0,30	0,50	0,75	1,00	1,25	1,50	2,00	2,50
	-	0,25	0,19	0,16	0,14	0,13	0,12	0,10	0,09

$\frac{D}{mm}$	α_{max}	$\frac{a_p}{l}$	$\frac{D}{mm}$	d_{min}	d_{max}	$\frac{S_{max}}{d_{min}}$	$\frac{S_{max}}{d_{max}}$	a_p
10	15,0	1,3/11	10	12,0	20,0	1,2	1,2	1,0
12	11,0	1,3/14	12	16,0	24,0	1,2	1,2	
15	7,0	1,3/22	15	22,0	30,0	1,2	1,2	

$\frac{D}{mm}$	μm	3	5	10	15	20	30	40	50	60	80	100
10	f_e	0,346	0,447	0,632	0,775	0,894	1,095	1,265	1,414	1,549	1,789	2,000
12		0,379	0,490	0,693	0,849	0,980	1,200	1,386	1,549	1,697	1,960	2,191
15		0,424	0,548	0,775	0,949	1,095	1,342	1,549	1,732	1,897	2,191	2,449

r_e	μm	3	5	10	15	20	30	40	50	60	80	100
2,5	f_e	0,245	0,316	0,447	0,548	0,632	0,775	0,894	1,000	1,095	1,265	1,414